

Фото 1. Голотип *Crataegus artzachensis* Gabrielian et Sargsyan К статье Э. Ц. Габриэлян, М. В. Саргсян (стр. 4-5)



Фото 2



Crataegus artzachensis Gabrielian et Sargsyan (Фото М. Саргсян) Фото 2. Общий вид. Фото 3. Плодущий побег К статье Э. Ц. Габриэлян, М. В. Саргсян (стр. 4-5)



Fig. 1. Isotype of *Bupleurum papillosum* DC. To the article A.A. Nersesyan (pp. 6-8)

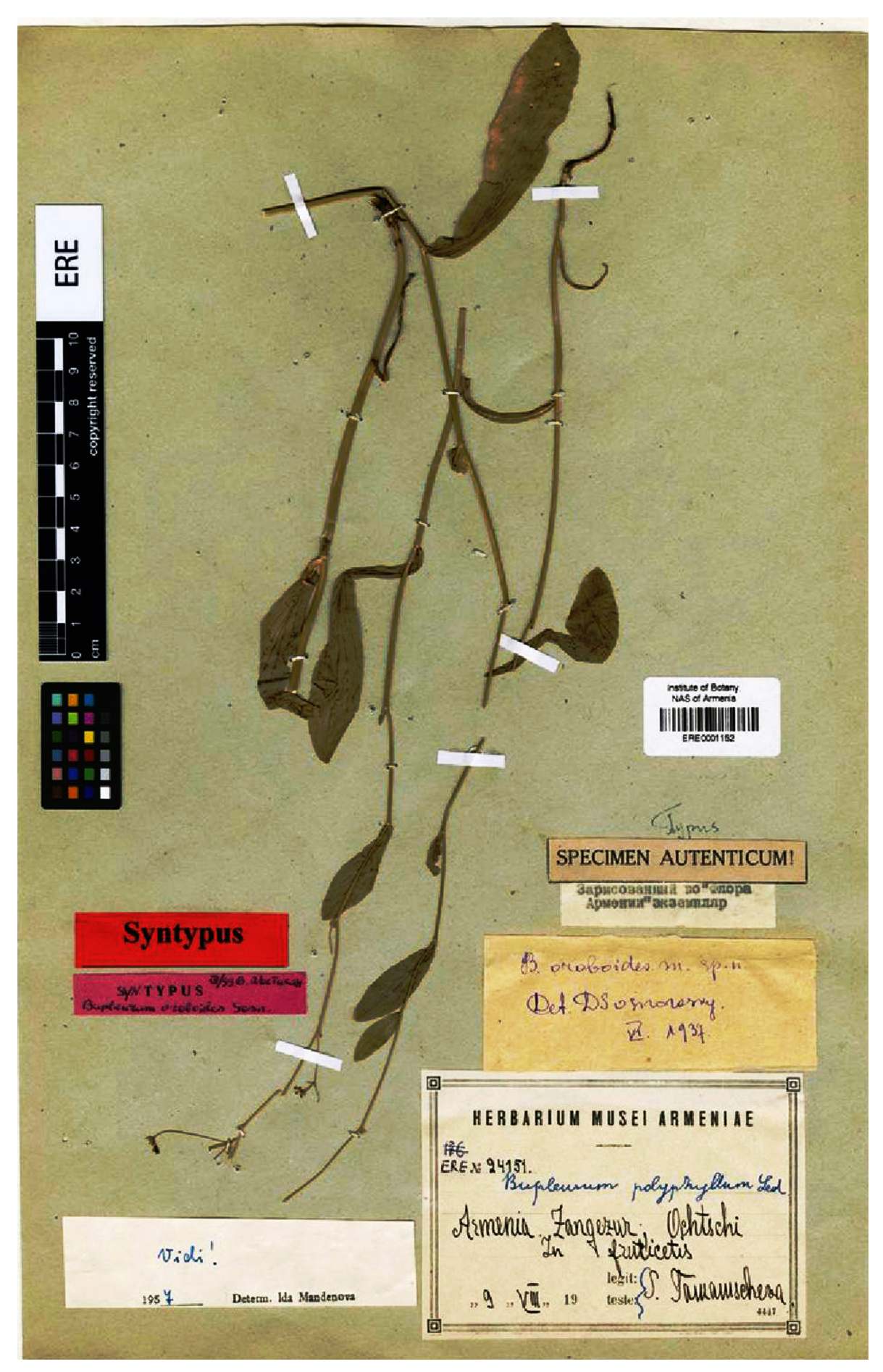


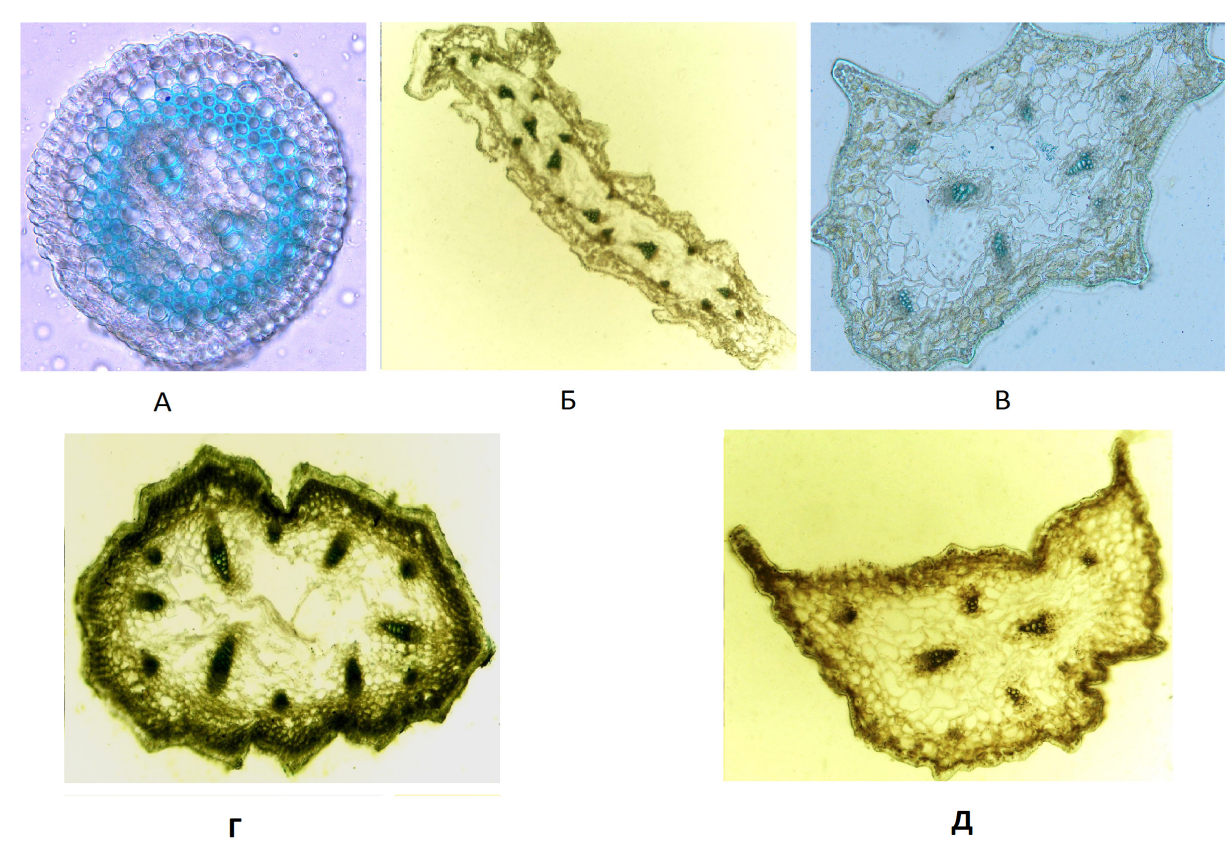
Fig. 2. Lectotype of *Bupleurum oroboides* Sosn. To the article A.A. Nersesyan (pp. 6-8)



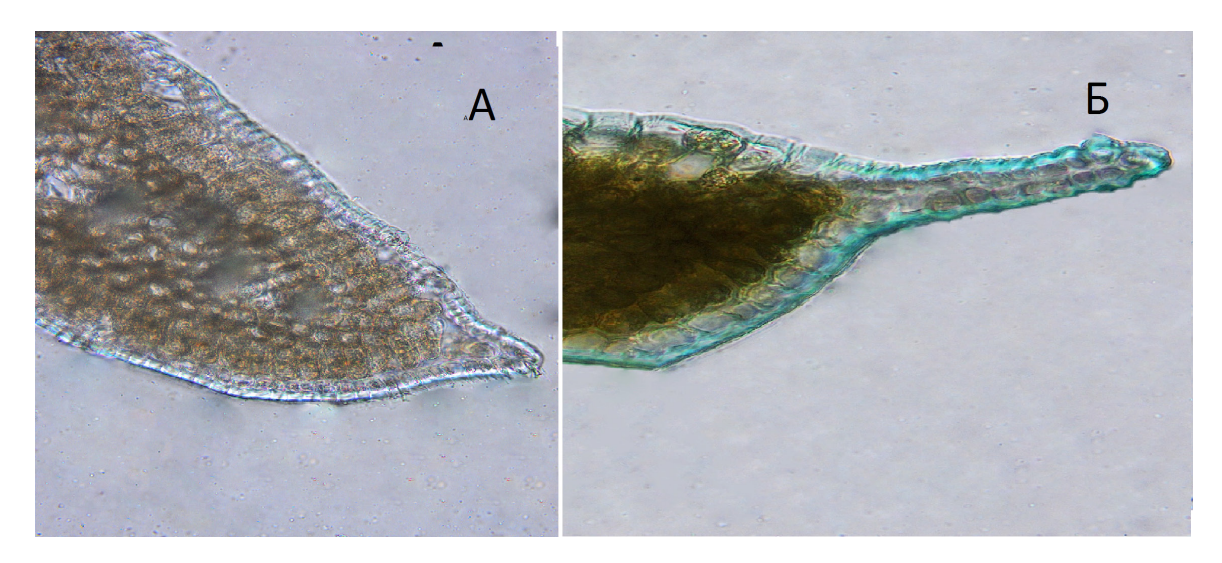
Photo 1. Isotype of *Potentilla porphyrantha* (LE). To the aticle M. E. Oganesian, K. Z. Janjughazyan (pp. 8-13)



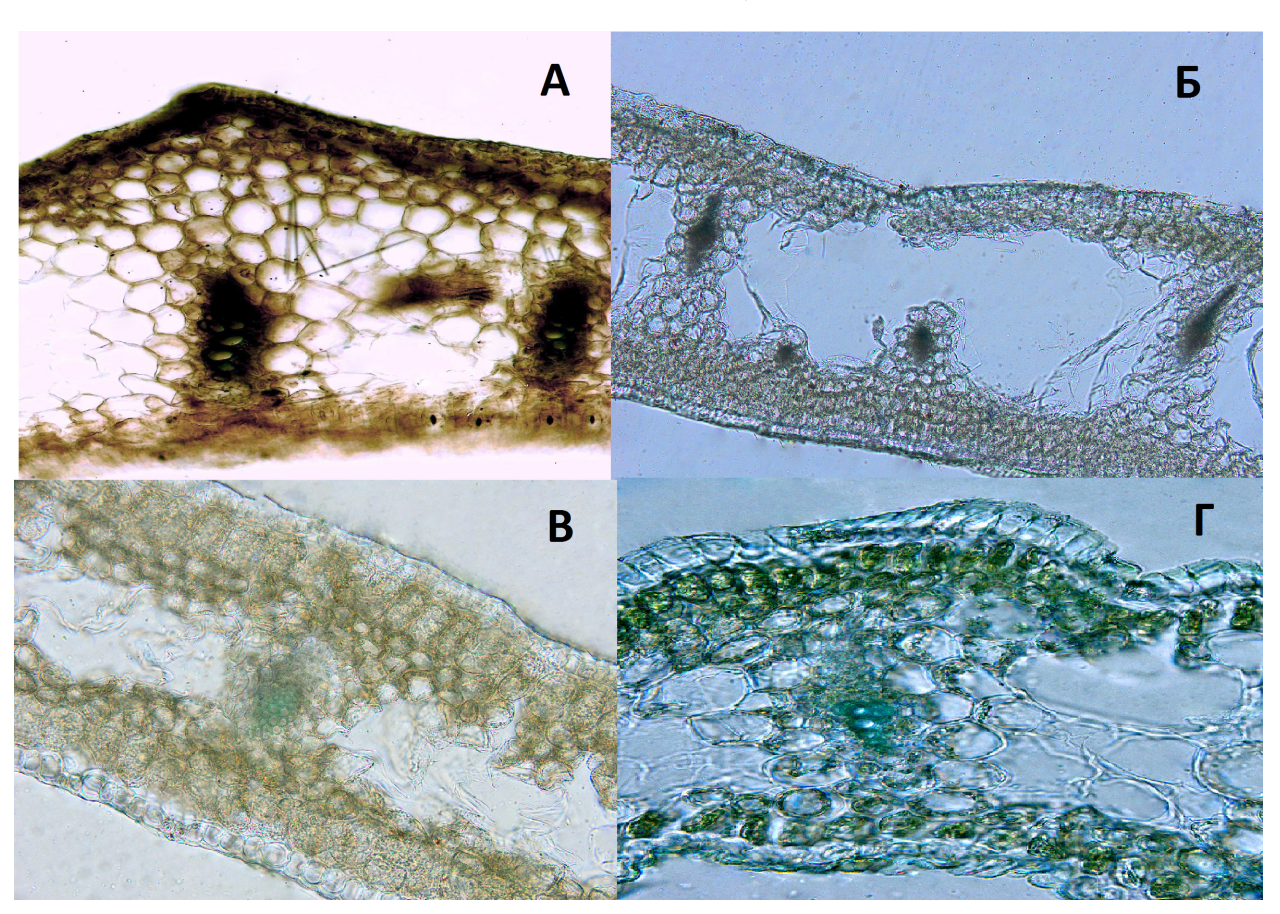
Photo 2. *Potentilla porphyrantha* (Sevan botanical garden, plants are transplanted from the Amulsar Mt.) To the aticle M. E. Oganesian, K. Z. Janjughazyan (pp. 8-13)



**Рис. 1**. Анатомическое строение цветоносов некоторых изученных видов: А - *H. atropatana*; Б - *S. rosenii*; В - *S. winogradowii*;  $\Gamma$  - *P. scilloides*;  $\Pi$  - *S. caucasica*. А х 160, Б, В,  $\Gamma$ ,  $\Pi$  х 64. К статье А.  $\Pi$ . Ачоян (стр. 14-17)



**Рис. 1**. Анатомическое строение листьев некоторых изученных видов: A–Scilla armena; B – Scilla litardierei. A x 160, B x 320.



**Рис. 2**. Анатомическое строение листьев некоторых изученных видов: A—Brimeura amethystina; Б—Puschkinia scilloides; В—Scilla armena;  $\Gamma$ — Hyacinthella atropatana. A, Б, В х 160,  $\Gamma$  х 400. К статье А. Л. Ачоян (стр. 18-23)



Рис. 1. Spiraea x vanhouttei



Рис. 2. Spiraea chamaedryfolia



Рис. 3. Spiraea douglassii



Pc. 4. Spiraea japonica



Рис. 5. Spiraea japonica f. little princess

К статье Н. Н. Мурадян (стр. 113-117)

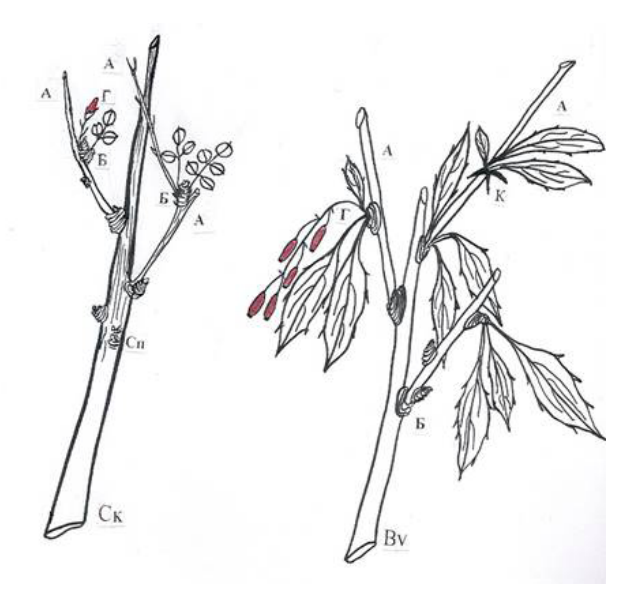


Рис. 1. Схематическое изображение фрагментов побегов *Colutea komarovii* (СК) и *Berberis vulgaris* (BV).

Сокращения: А- ауксибласт, Б — брахибласт,  $\Gamma$  — генеративный побег, K — колючка,  $C\pi$  — спящие почки.

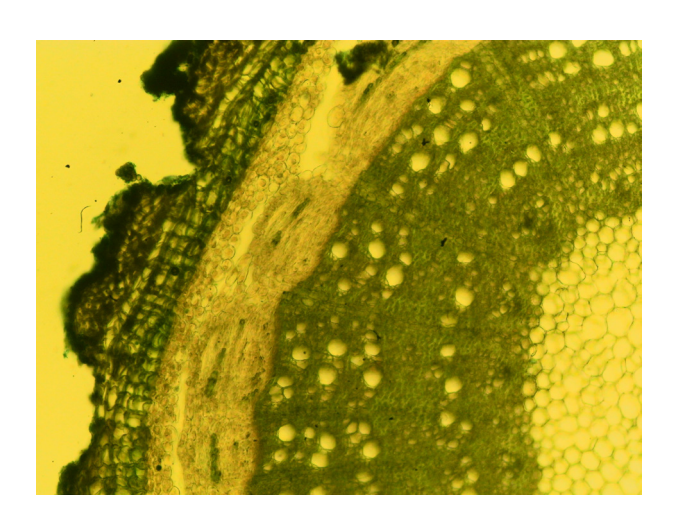


Рис. 3. Ауксибласт *С. комагоvіі* 3-го года вегетации х160

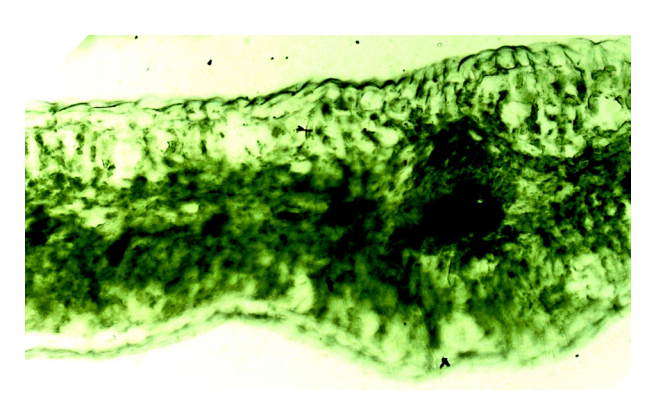


Рис. 5. Структура листа *С. котагочіі*, х 160.

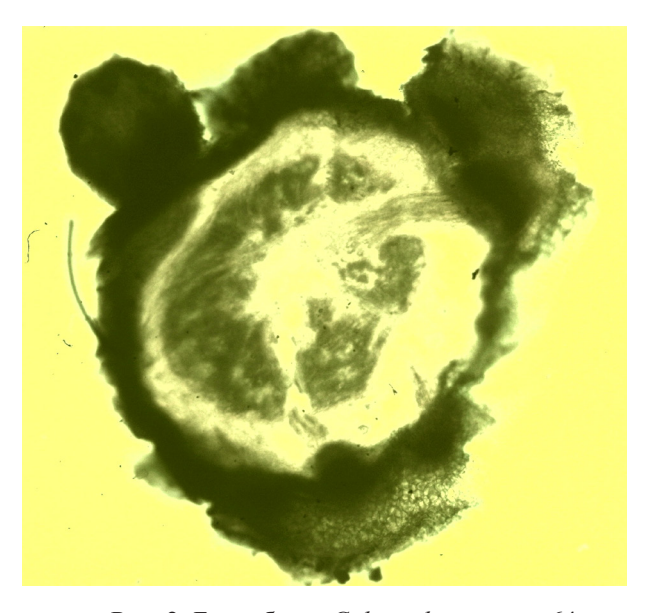


Рис. 2. Брахибласт Colutea komarovii x64.

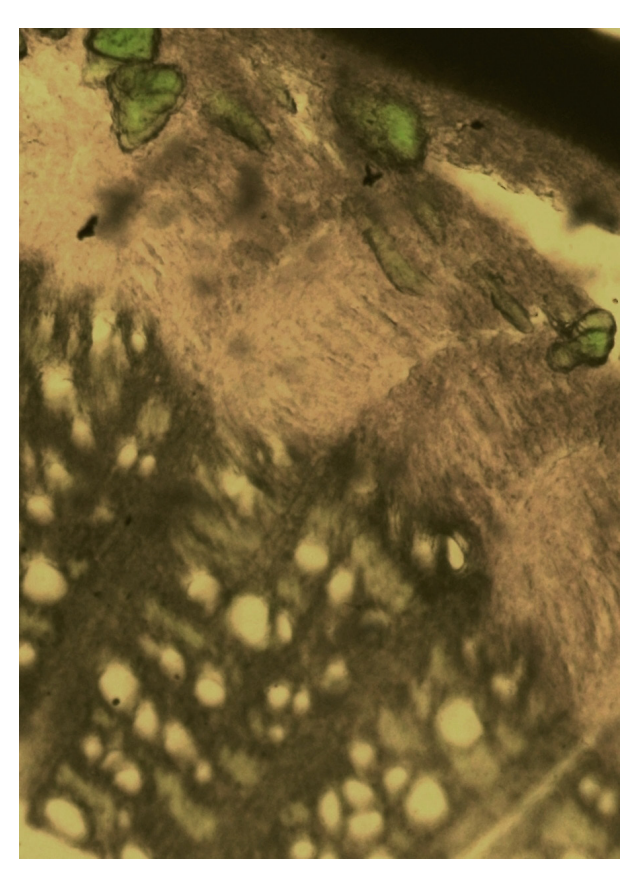


Рис. 4. Фрагмент поперечного среза многолетнего ауксибласта *С. komarovii*, х 160. Во флоэме и коре – макросклереиды.

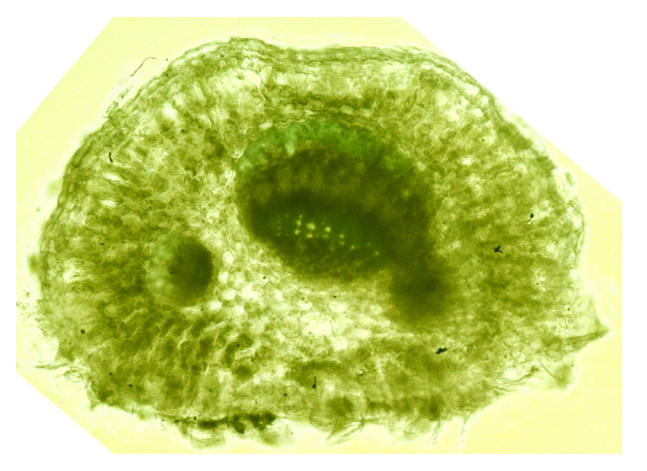


Рис. 6. Рахис листа C. komarovii, х 160

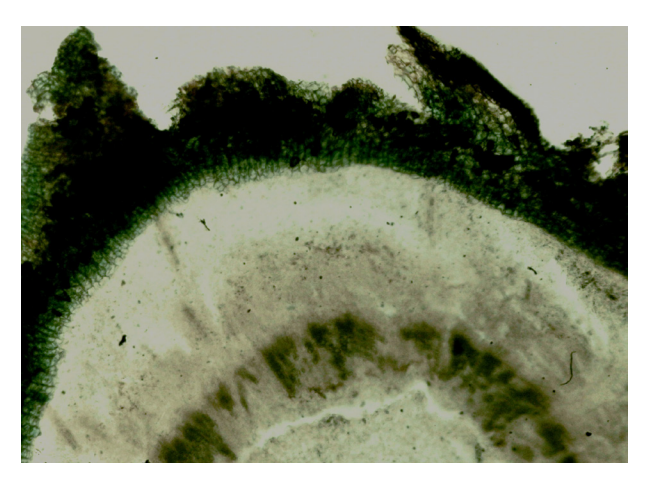


Рис. 7. Брахибласт Berberis vulgaris, x 64.

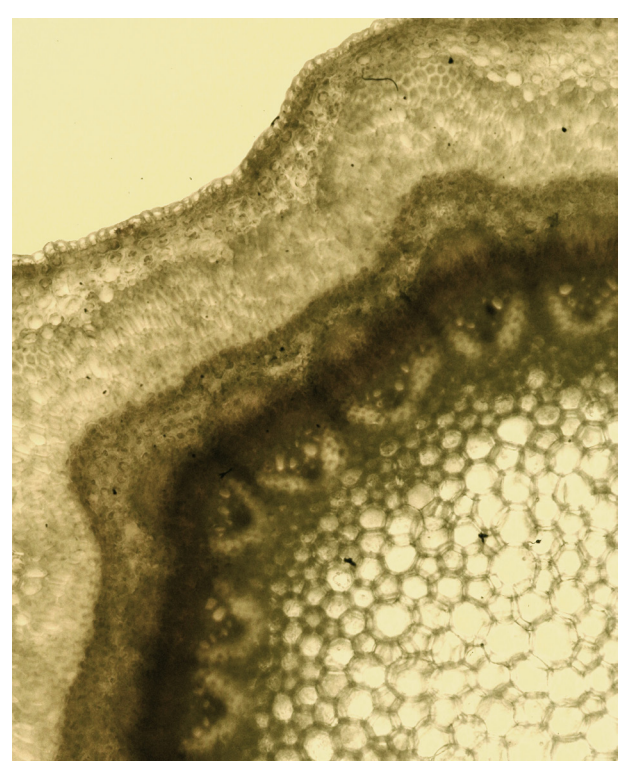


Рис. 8. 1-летний ауксибласт Berberis vulgaris, х 64.

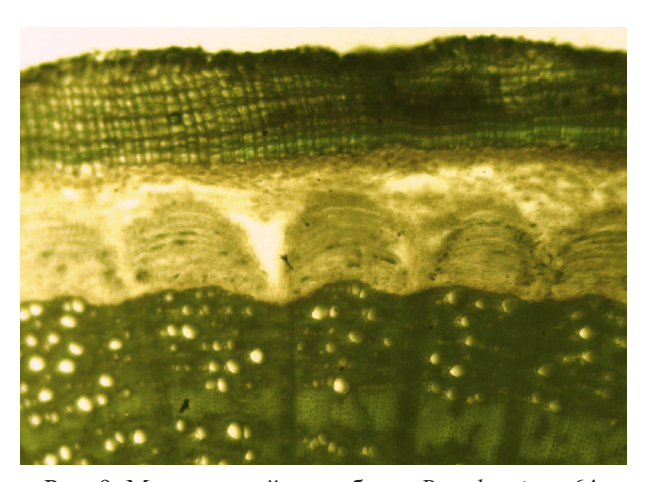


Рис. 9. Многолетний ауксибласт *B. vulgaris*, х 64.

К статье Г. Г. Оганезовой (стр. 23-31)



Рис. 1. Ассоциация букняка мертвопокровного [Fagetum nudum] в окр. с. Срашен.



Рис. 2. Материнское дерево Fagus orientalis высотой 35 м, диаметр 120 см, возраст 320 лет.

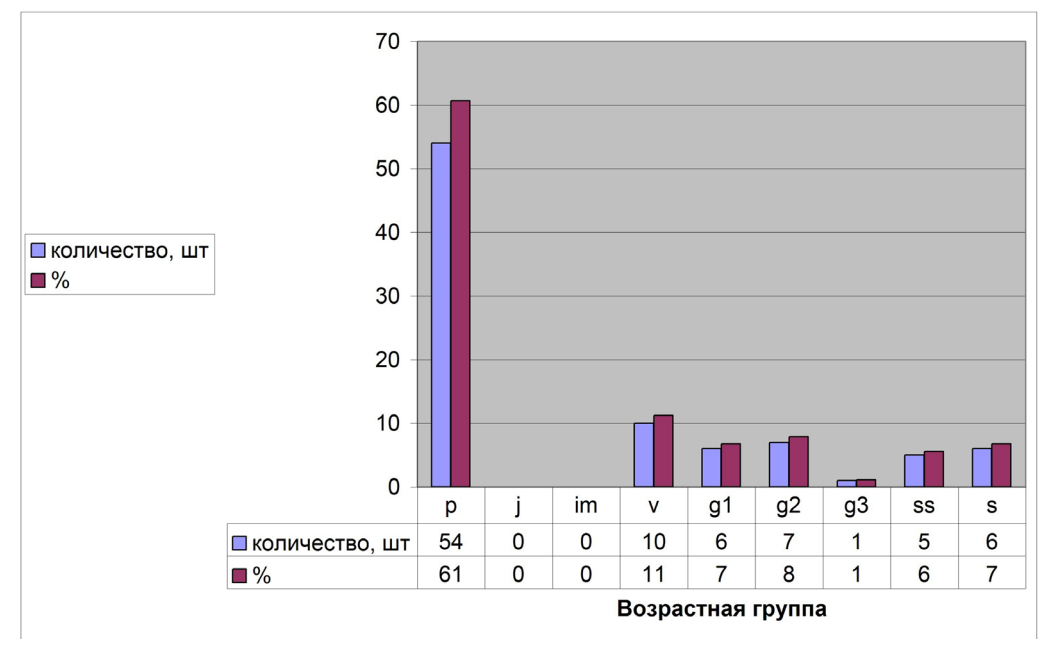


Рис. 3. Возрастной спектр ассоциации букняка мертвопокровного – Fagetum nudum (окр. с. Срашен, Южная Армения)



Рис. 4. Ассоциация грабняка буково-папоротникового [Carpinetum fagetoso-filicosum]. К статье Х. У. Алиева и др. (стр. 31-36)

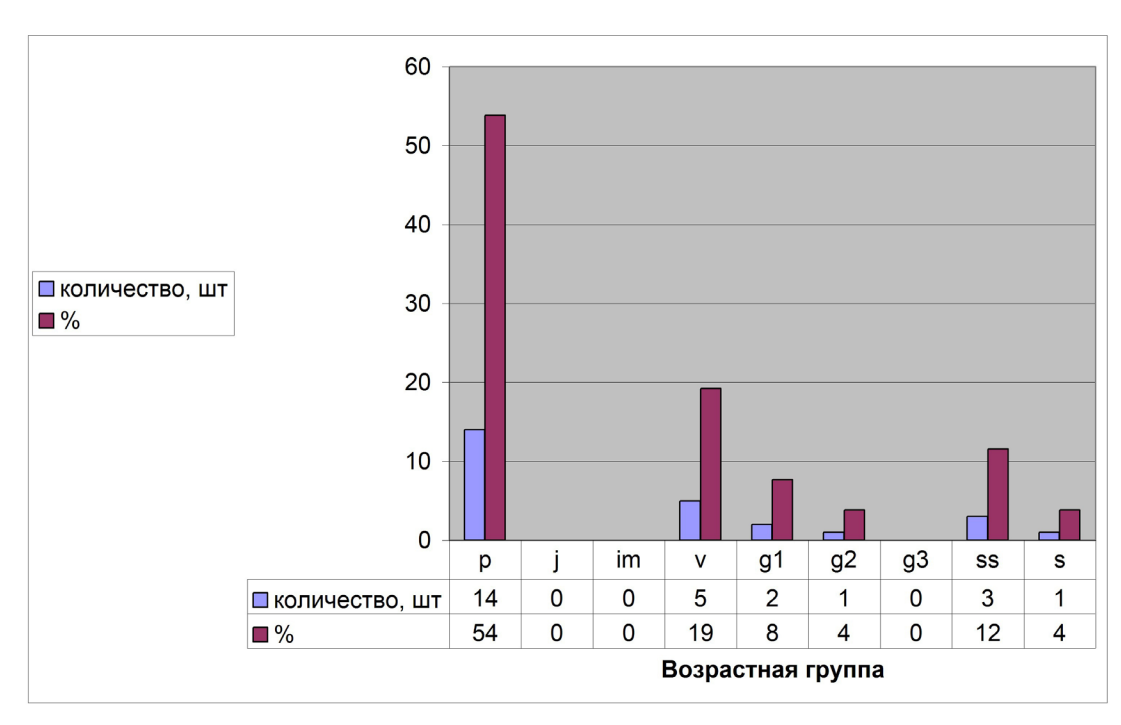


Рис.5. Возрастной спектр ассоциации грабняка буково-папоротникового – Carpinetum fagetoso-filicosum (окр. с. Срашен, Южная Армения)



Рис. 6. Расположение реликтового букняка Южной Армении: треугольник – Мегринский хр., с. Срашен; кружки – изолированные букняки восточной части Малого Кавказа; штриховка – сплошное распространение лесов с участием бука в Северной Армении.

К статье X. У. Алиева и др. (стр. 31-36)



Photo 1. Chmoe Lake



Photo 2. Ecosystem C3.21111-AM (Freshwater *Phragmites australis* and *Thelypteris palustris* beds)



Photo 3. Ecosystem C3.291-AM (Water-fringing large sedge communities with *Carex acuta* dominance)



Photo 4. Ecosystem E1.4511-AM (Wormwood semi-desert with *Iris lycotis*)



Photo 5. Ecosystem F3.24761-AM (Shibliak – *Paliurus spina-christi* thorn scrub with *Iris iberica*)



Photo 6. Ecosystem F3.24762-AM (Shibliak – *Paliurus spina-christi* thorn scrub with *Paeonia tenuifolia*)

To the article G. M. Fayfush & al. (pp. 40-44)



Photo 7. Ecosystem F9.131-AM (Montane river gravel low brush with *Chamaenerion dodonaei*)



Photo 8. Ecosystem G1.A1D121-AM (Oak forests (*Quercus iberica*) with *Crataegus spp.* and *Cornus mas* and *Coronaria coriacea* in undergrow)



Photo 9. Ecosystem G1.A324-AM (Hornbeam forests with *Staphyllea pinnata* in undergrow)



Photo 10. Ecosystem H3.411-AM (Armenian wet inland cliffs with *Adianthum capillus-veneris*)

To the article G. M. Fayfush & al. (pp. 40-44)



Map 1. Investigated lakes on the Lori Mountain plateau To the article A.A. Tumanyan & al. (ctp. 44-49)



Orchis punctulata near Herher reservoir



Blooming pear trees in Herher sanctuary

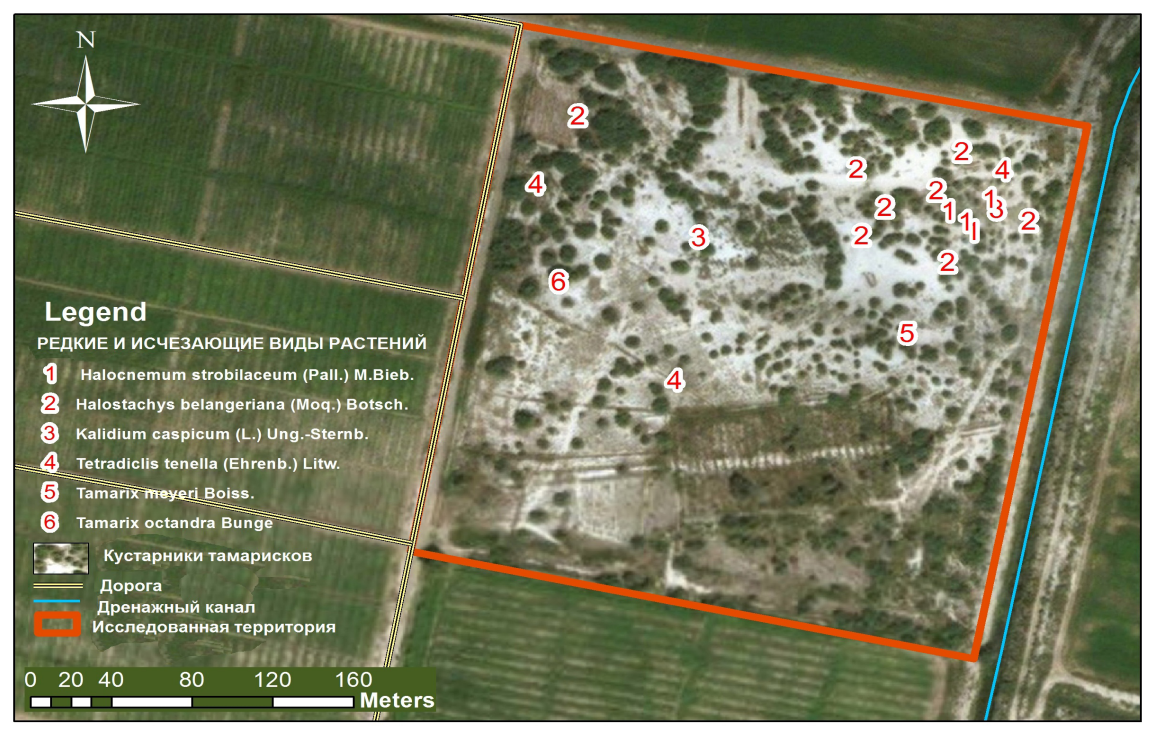


Pyrus daralagezi sample collected from Herher sanctuary



Pyrus gergerana

To the article A.T. Asatryan (pp. 51-53)



Карта распространения редких и исчезающих видов галофильной флоры Армении на территории стационарного участка "Армавирской опытно-мелиоративной станции" К статье Ж. А. Акопян и др. (стр. 67-73)



Fig.1.Orchis morio

Fig.2. Orchis morio



Fig.3 Ophrys caucasica

Fig.4. Ophrys caucasica

К статье А. А. Нерсесян (стр. 53-56)

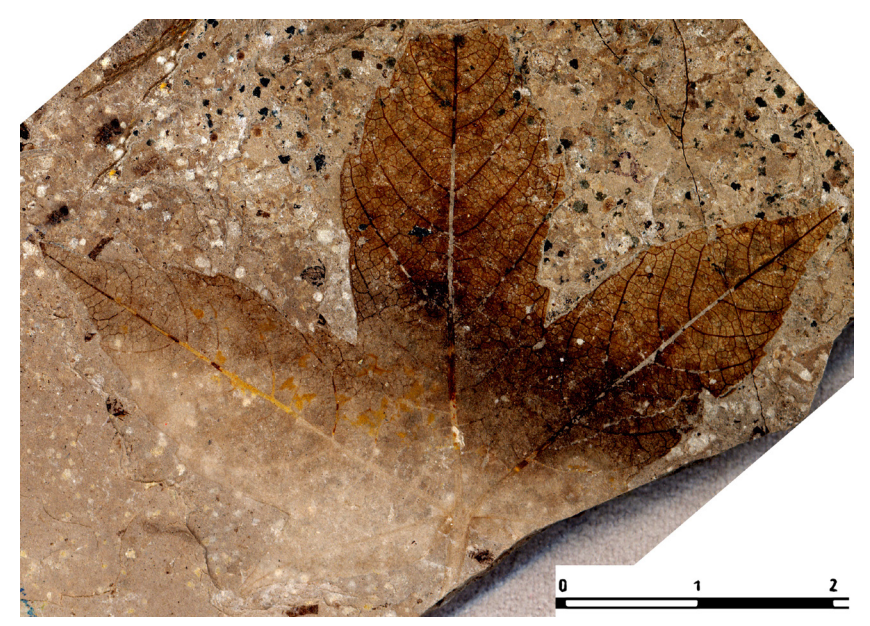
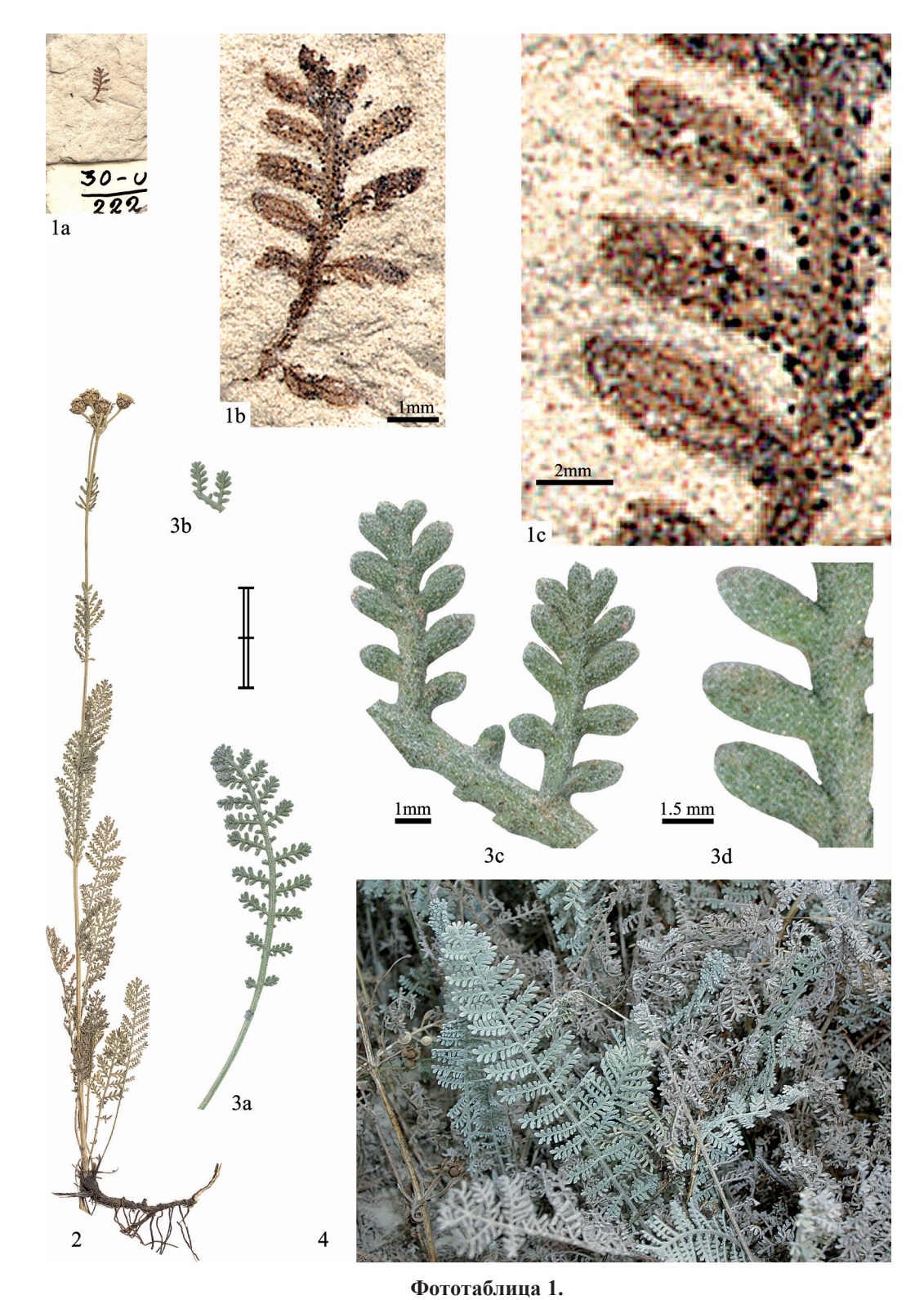


Fig.1. Acer hajastana sp. nova Holotype - Γ'-1120a



Fig. 2. Acer hajastana sp. nova Paratype - Γ'-1121a To the article A.S. Papikyan (pp. 56-57)



Фиг. 1 — *Tanacetum* cf. *chiliophyllum* (Fish. et C. A. Mey.) Sch. Bip.; 2-6 - *Tanacetum chiliophyllum* (Fish. et C. A. Mey.) Sch. Bip. (вертикальная шкала = 2 cm)

1а — *Тапасеtum* cf. *chiliophyllum*: отпечаток листочка, местонахождение Uyts-2, слой Uts-2/а-3, образец 30-U/222: ERE, палеоботаническая группа; 1b — Тот же образец, листочек; х 10; 1c — Тот же образец, деталь листочка с железками и жилкованием; х 30; 2 — *Tanacetum chiliophyllum*: Армения, Сюникский регион, Сисианский район, бассейн реки Воротан, окрестности села Аревис, светлые леса с *Quercus macranthera*, 8 июля, 1966, В. Манакян, В. Аветисян, ERE № 86803; 3а — *Tanacetum chiliophyllum*: лист, Армения, Ереван, Ботанический сад Института ботаники НАН РА им. А. Тахтаджяна; 2001, И. Габриелян, Н. Алексанян, ERE, палеоботаническая группа; 3b — Листочки того же листа; х 7; 3d — Листочки второго порядка того же листа; х 15; 4 — Заросли *Тапасеtum chiliophyllum* в бассейне реки Воротан (фото И. Габриеляна).

К статье И. Г. Габриеляна (стр. 58-61)

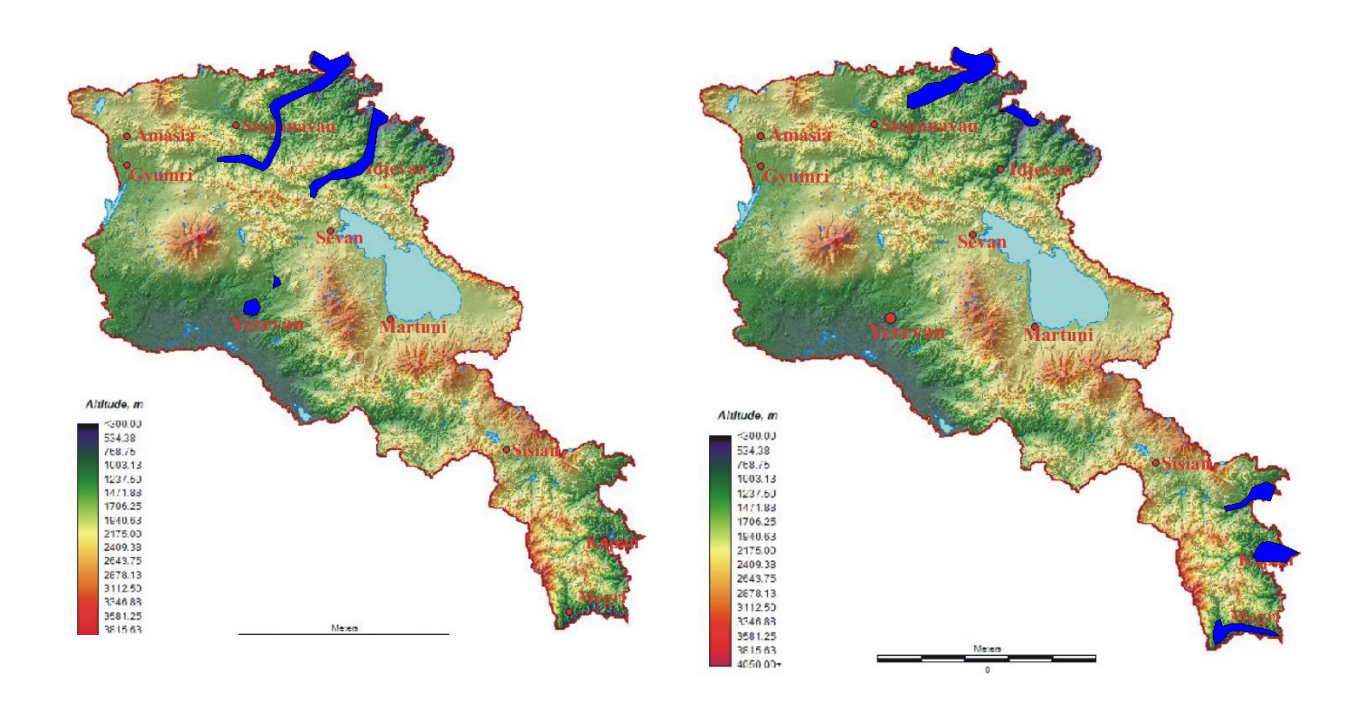


Рис. 2. Современное (2017 г.) распространение Ambrosia artemisiifolia (A) и Silybum marianum (B) в Армении

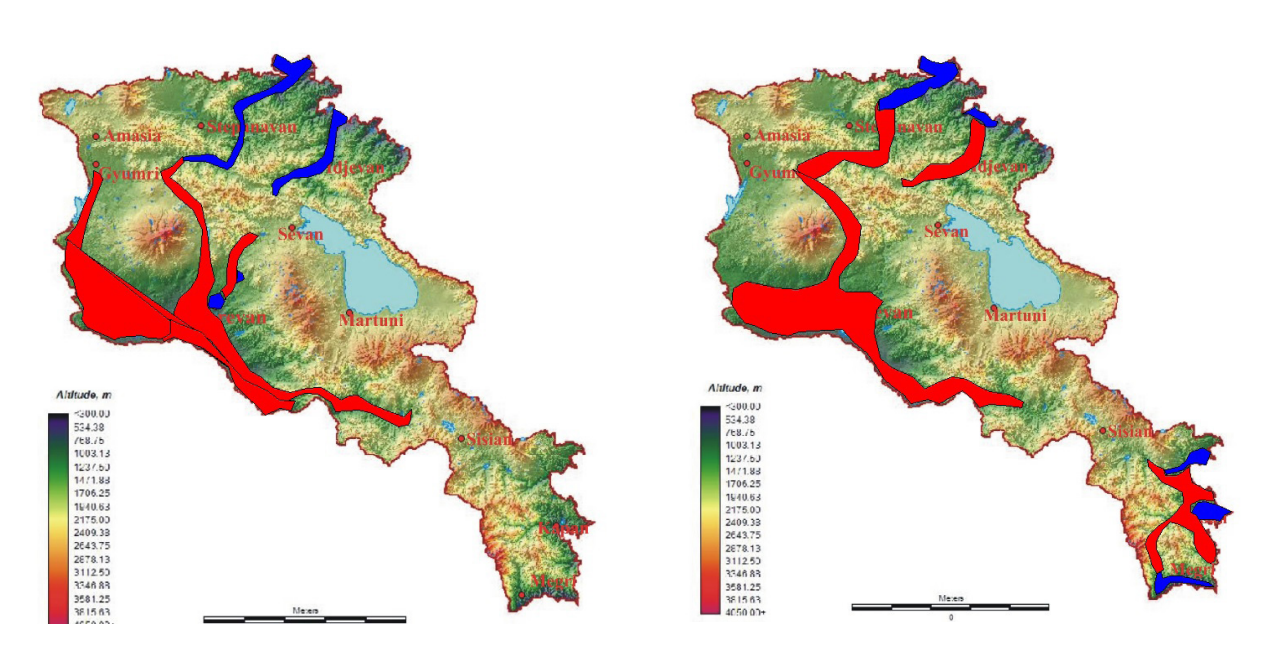


Рис. 3. Прогнозируемое распространение Ambrosia artemisiifolia (A) и Silybum marianum (B) в Армении на период до 2030 года на основе био-климатического моделирования К статье Р. И. Оганнисян (стр. 77-79)

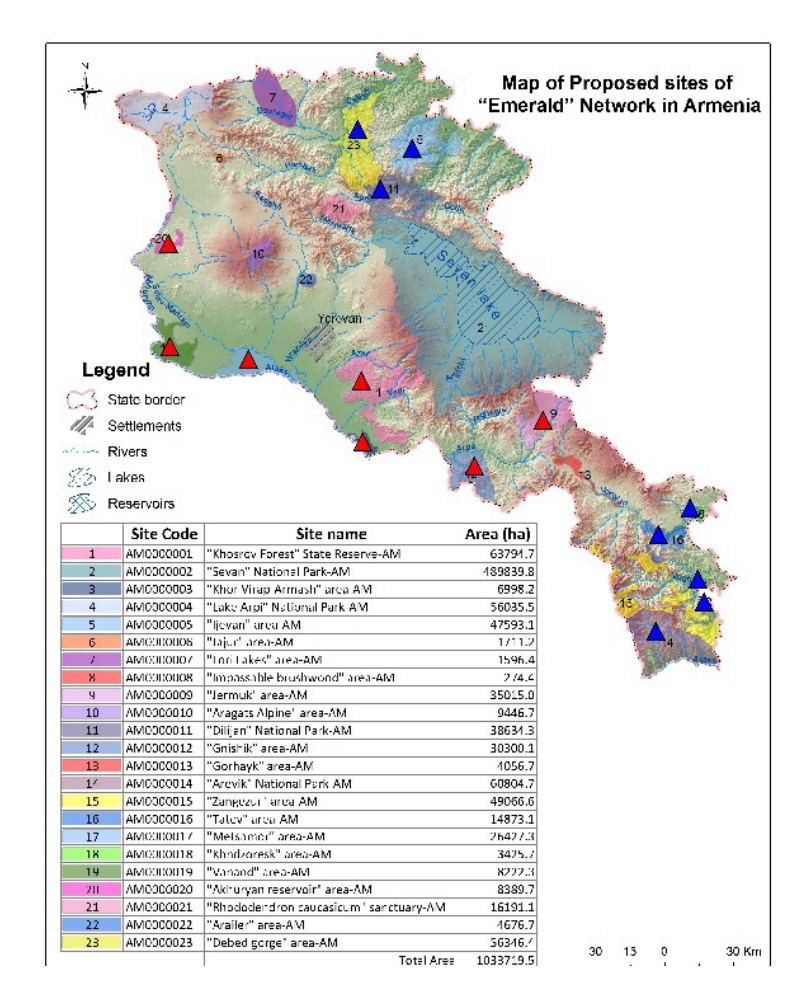


Рис. 4. Современная (синие треугольники) и прогнозируемая (красные треугольники) встречаемость Silybum marianum и Ambrosia artemisiifolia на территориях сети «Эмеральд» в Армении

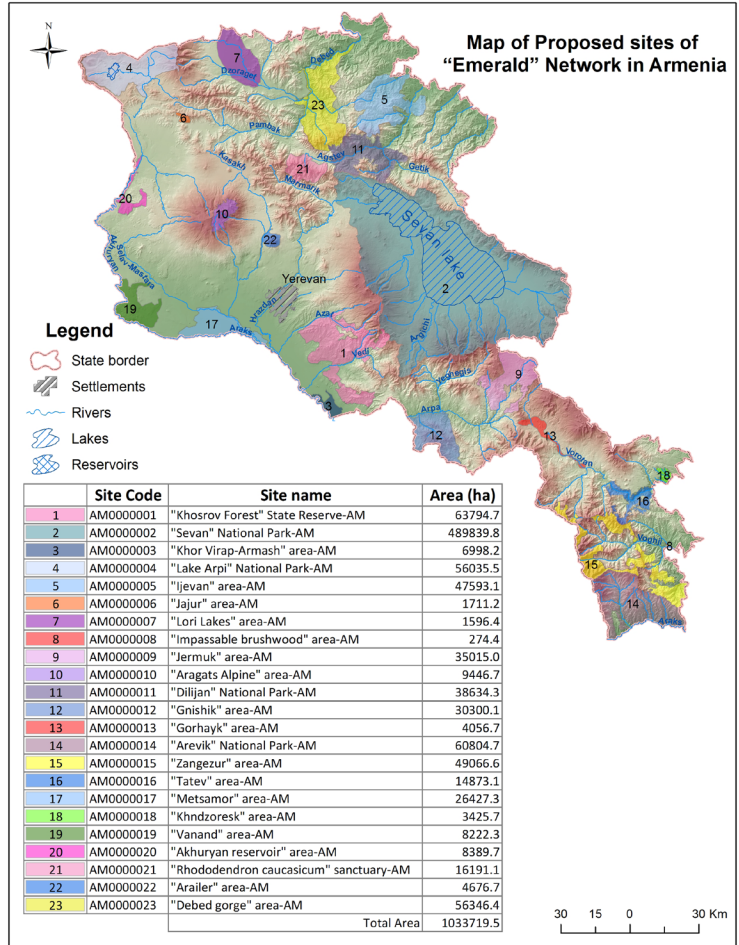


Рис. 1. Карта сети «Эмеральд» в Армении К статье Р. И. Оганнисян (стр. 77-80)



Рис. 4. Добавочные чашелистики на бутонах, цветках и плодах Р. granatum. Рис. 5. Листья Р. granatum с зубчатым краем листовой пластинки, Иран (W!). Рис. 6. Характерное для Р. granatum жилкование листа. Рис. 7. Листья Р. granatum с необычным жилкованием, Анатолия (W!). Рис. 8. Превращение тычинок в лепестки у махровой формы Р. granatum.

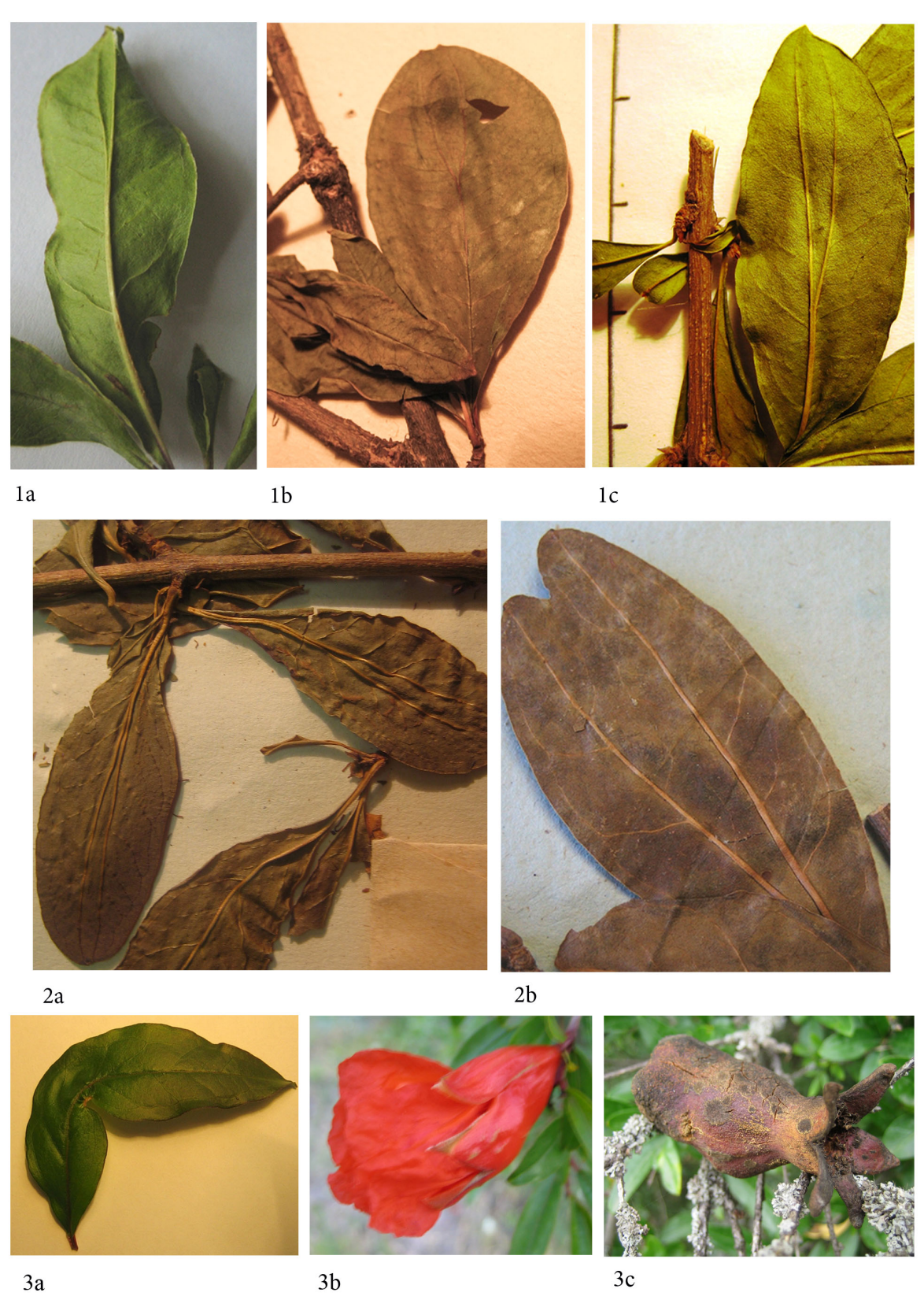


Рис. 1. Дихотомическое разветвление центральной жилки. Рис. 2. Фасциации листьев у Р. granatum. Рис. 3. Тератоморфы, обусловленные травматическими и другими повреждениями.

К статье Н. П. Степанян-Гандилян (стр. 104-110)

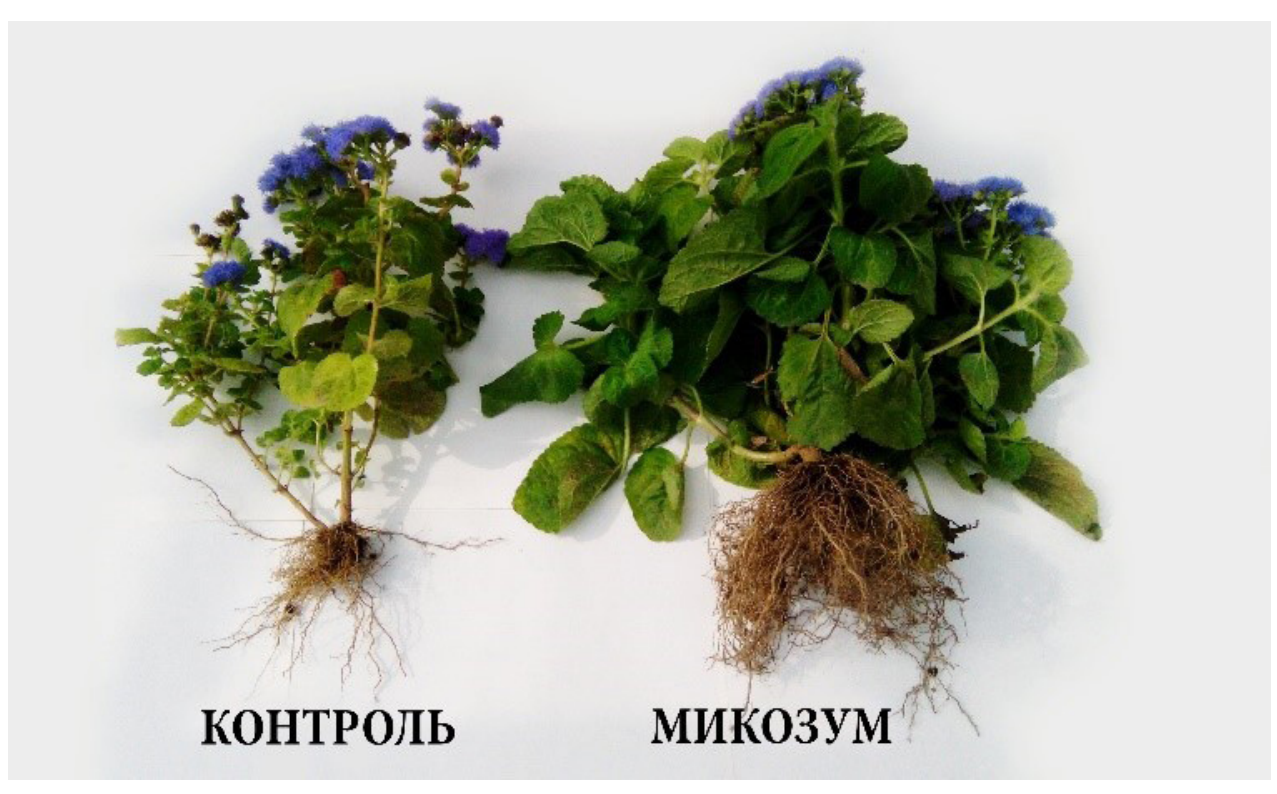


Рис.1 Ageratum houstonianum "Blue Mink"

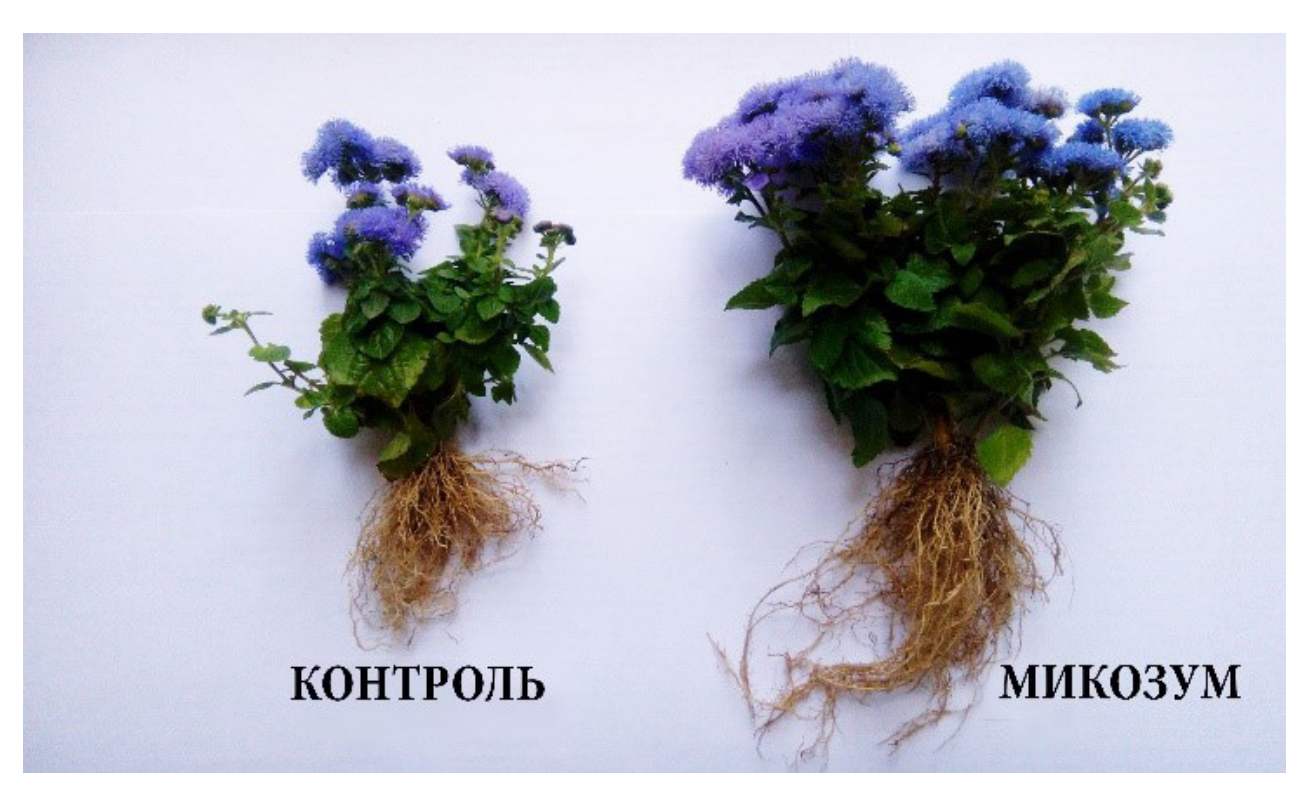


Рис. 2 Ageratum houstonianum "Aloha Blue" К статье Л. Ю. Мартиросян и др. (стр. 111-113)

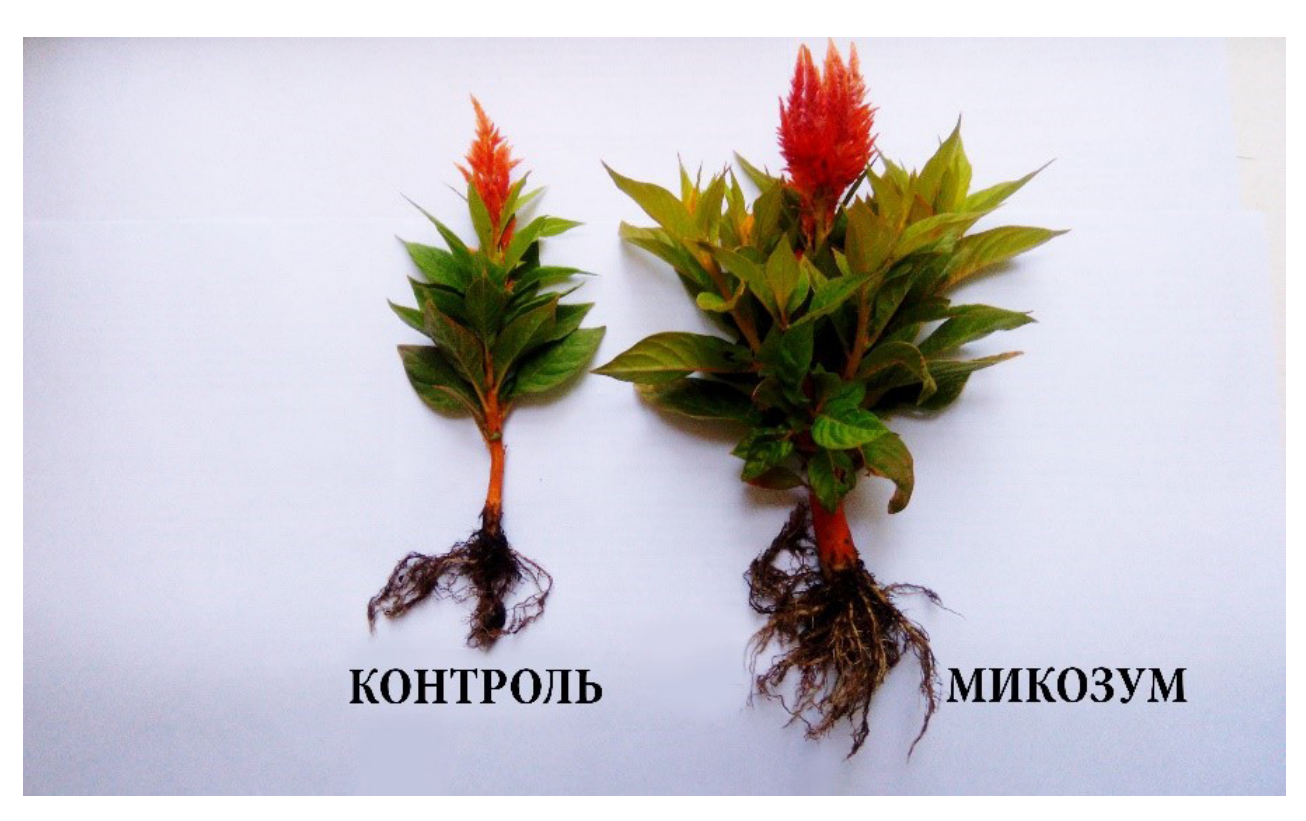


Рис. 3 Celosia argentea f. plumosa "Fresh Look"

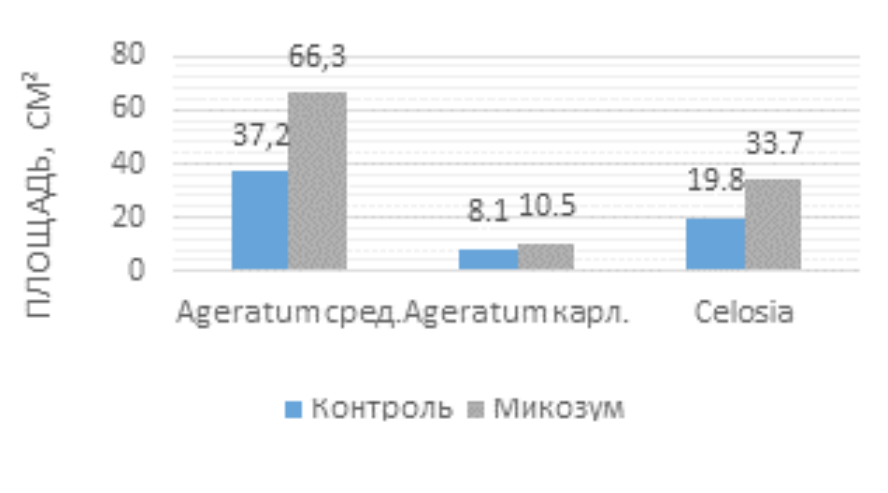


Рис. 4. Площадь листа см<sup>2</sup>

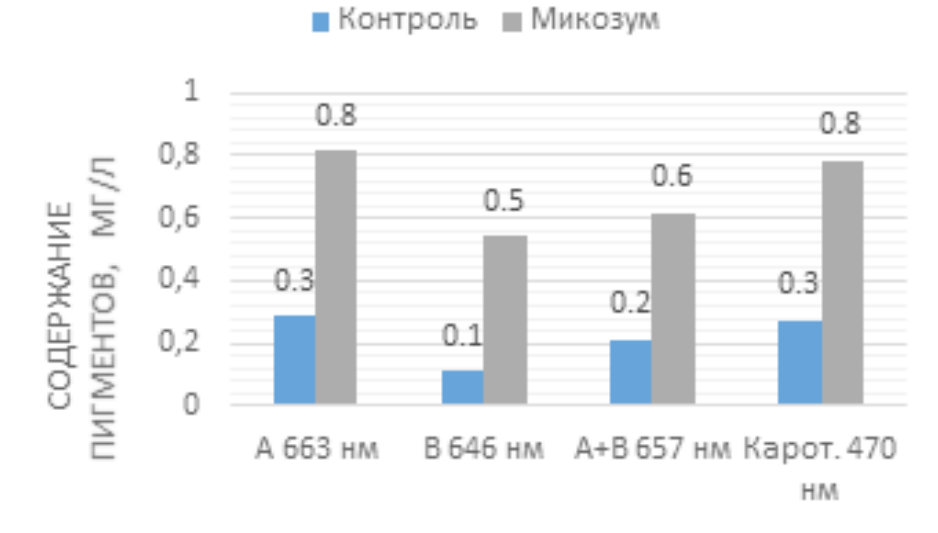


Рис.5. Содержание пигментов в листьях *Ageratum* К статье Л. Ю. Мартиросян и др. (стр. 111-113)